

## 불화물을 이용한 산소센서의 제조 및 특성

이재현, 흥영호, 장동근, 이병택, 김태훈, 이덕동  
경북대학교 전자공학과

### Fabrication and Characteristics of Oxygen Gas Sensor using Fluoride Compounds

Jae-Hyun Lee, Young-Ho Hong, Dong-kun Jang, Byung-Taek Lee, Tae-Hoon Kim, Duk-Dong Lee  
Dept. of electronics Kyungpook National university

#### Abstract)

Fluoride compound potentiometric cell oxygen sensors were fabricated for the measurement of oxygen pressure in the low temperature range (300K-500K). The disk type sensors consist of a reference Air( $O_2:21\%$ ):Ag, a solid electrolyte  $SrF_2$ , and a sensing metal Ag electrode. And the buried reference electrode type sensor have a NiO/Ni reference electrode. The open circuit emf of the cell showed high sensitivity to oxygen gas (60mV) at the measuring temperature 200°C. Also, The buried reference electrode type sensor showed 30mV from 1% to 10% oxygen pressure range.

## 1. 서 론

모든 연소장치나 설비 및 내연기관등에는 산소 가스의 유입을 필요로 하며 산소가스는 연료 에너지 뿐만 아니라 각종 공업용 열에너지원의 주요 수단이 된다. 예를들면 보일러, 소성로 및 자동 차엔진등에서 이들에 공급되는 산소량의 조절은 매우 중요한 인자가 되며 산소량( $I_{(3)}$ )에 따른 불완전 연소성분을 최소화하여 연소효율을 높이는 일은 불가결한 과제로서 이를 위해 공연비조절이 가능한 산소센서에 대한 연구가 다각도로 이루어지고 있다.

현재 산소감지소자에 대한 연구는 국내외적으로 활발히 진행되고 있으며, 특히  $ZrO_2$ 계 세라믹스를 이용한 산소센서가 내연기관 연소제어용으로 응용되고 있다. 최근에는 불소화합물이나, 산화티타늄, 산화코발트, 산화니오비움등의 산화물 반도체를 이용한 산소가스 감지소자를 개발하여 보다 높은 성능과 경제성을 기하려는 노력이 이루어지고 있다.

그 종 불소화합물 반도체를 이용한 셀은, 낮은 온도에서 산소가스의 검지가 가능하고, 전압전류 관계가 대략적인 직선관계를 이루며, 소형화가 가능하여 적은 소비전력으로 구동이 가능하다는 면점이 있다.<sup>(5,6)</sup> 그러나 이 셀은 저온에서 사용하므로 반응속도가 매우 느리며, 응답의 재현성, 안정성, 감도 면에서 불충분하여, 산소센서로서 실용화에 이르지 못하고 있는 실정이다.<sup>(7,8,9)</sup>

본 실험에서는 연소장치로부터 배출되는 가스중에 함유된 산소가스를 선택적으로 검지하고 그 양을 측정할 수 있는 불화물 고체 전해질형 소자를 개발하고 산소분압에 따른 감도특성을 조사하였다.

## 2. 실험 및 측정

- 시편의 제조

그림 1은 본 실험에서 사용한 불화물 고체전해질의 제조공정을 나타낸 것이다. 소자의 제조는 일반적인 요업소결체의 제조공정을 따랐으며, 실험에 사용한 원료물질은 순도 99.9%의 Aldrich Chemical Company, Inc의  $SrF_2$  분말을 사용하였으며, 첨가물로 동 회사의  $YF_3$ 를 적당량씩 넣어 물비로 평량하였다. 평량된 분말을 습식 볼밀 방법으로 24시간 혼합하여 110°C에서 충분히 건조시켰다. 건조후, 알루미나 도가니에 넣어 전기로에서 500°C 2시간 하소하였다. 하소분말은 전술한 혼합과정과 동일한 방법으로 혼합분쇄하여 약 110°C에서 건조시켰다. 이렇게 하여 얻어진 분말에 0.5wt%가 되게 PVA 수용액을 첨가하여 잘 혼합한 후 과립상의 분말을 만들었다. 이 분말을 다이스에 넣고 약 5ton/cm<sup>2</sup>의 압력으로 5분간 가압 성형하였다. 가압 성형된 시편을 공기중에서 600°C 2시간 유지하여 바인더를 휘발시키고, 700 - 900°C에서 각각 3시간 열처리하였다. 여기에 Pt 또는 Ag 페이스트를 스크린 프린팅한후에 공기중에서 600°C 30분 동안 경화하여 전극을 형성하였다. 기준전극 내장형의 경우 기준전극으로는 Air( $O_2:21\%$ ):Ag와 산화니켈을 사용하였으며 Ni/NiO가 7:3의 비율로 섞인것을 사용하였다.

그림 2-A은 본 실험에서 사용된 소자의 형태를 나타낸 것이다. 소자는 직경이 10mm이고 두께가 1mm의 전해질 시편을 석영관 유리꼴에 부착하여 측정하였다. 기준전극으로 Air:Ag를 사용하였으며, 감지전극으로는 Ag를 사용하였다. 산화물 기준전극 Ni/NiO의 경우에는 기준전극용 디스크시편을 그림 2-B와 같은 모양으로 전해질과 밀착시 되게 한후, 기준전극을 Aron inorganic adhesive로 봉입 부착하였다.

### 2) 특성 측정

그림 3은 산소에 대한 감도 특성을 조사하기 위하여 제작한 산소분압 측정 장치도이다. 센서 시편을 정온도 조절이 가능한 전기로의 중앙부에

밀어 넣은 후 혼합가스를 흘려 가며 측정하였다. 산소 분압은 초고순도의  $N_2$  와  $O_2$  가스의 비를 달리하여 조절하였으며, 시편을 전기로의 중앙부에 밀어 넣어 고정시킨 후 기전력을 측정하였다. 기전력 측정에 사용된 계기는 Keithley 617 programmable electrometer 였다.

시편의 감도측정시 기준전극으로는 Air( $O_2: 21\%$ ) /Ag 가 사용되었으며, Air가 기준전극으로 잘 동작하도록 하기 위해서 중앙부에 작은 유리관을 이용하여 Air를 순환시켰다. 또한 기준전극(NiO/Ni) 내장형 시편의 경우에도 전술한 것과 동일한 방법으로 전기로의 중앙에 위치시킨 후 측정온도에서 충분히 안정화 시킨 후 특성 측정을 행하였다.

### 3. 결과 및 고찰

그림 4는 공기분위기에서 3시간 열처리한  $SrF_2$  산소센서 시편의 열처리 온도에 따른 밀도의 변화를  $YF_3$ 의 함량별로 나타낸 것이다.  $SrF_2$ 의 이론밀도를 보면  $4.23 \text{ g/cm}^3$  으로 알려져 있으며, 이온전도체로서의 특성을 나타내기 위해서는 94~96% 의 소결밀도를 갖어야 한다. 그림에서 알 수 있는 바와 같이  $800^\circ\text{C}$  부근에서 열처리한 것이 가장 높은 소결밀도를 가짐을 알 수 있다. 소결 밀도가  $850^\circ\text{C}$ 를 넘어서면서 점차로 밀도가 낮아짐을 보여 주고 있다.

그림 5는  $SrF_2$ 에  $YF_3$  가  $10\text{mole\%}$  첨가된 시편의 산소분압에 따른 감도특성을 보여주고 있다. 측정 온도에 따른 기전력 변화가 크게 나타났으나, 산소농도 변화가 1~10%로 변화시 약  $60\text{mV}$ 의 기전력 변화를 보였으며 온도에 따른 변화폭이 일정하였다. 이때 산소농도 21%에 대한 시편의 안과 밖의 기전력 차가  $0\text{mV}$ 를 나타내지 않음을 보여준다. 이는 시편 안과 밖의 미세구조의 차이로 생각되며 항상 초기기전력이 존재함을 알 수 있었다. 이것은 초기기전력을 고정시키면 온도에 따른 영향을 줄일 수 있을 것으로 생각된다.

그림 6은  $YF_3$  첨가량에 따른  $SrF_2$  산소센서 시편의 감도특성을 보여주고 있다. 측정온도  $200^\circ\text{C}$ 에서 보면  $YF_3$ 의 첨가량에 따른 변화폭이 0~ $10\text{mole\%}$  까지는 거의 일정하였으나  $10\text{mole\%}$  이상에서는 감소하였다.

그림 7은  $800^\circ\text{C}$ 로 열처리된 시편의 측정온도에 따른  $SrF_2/YF_3$  산소센서 시편의 산소 감지 특성을 보여주고 있다. 이 시편의 경우 측정온도에 따른 기전력의 변화폭이  $50\text{--}60\text{mV}$ 로 일정함을 보여주고 있다.

그림 8은  $YF_3$ 가  $10\text{mole\%}$  첨가된  $SrF_2$  산소센서 시편의 열처리 온도에 따른 산소감지특성을 측정 온도  $200^\circ\text{C}$ 에서 나타낸 것이다. 열처리 온도가  $800^\circ\text{C}$  부근에서 큰 기전력 변화를 보이고 있다.

그림 9는 기준전극으로 NiO/Ni를 사용한  $SrF_2/YF_3$  산소센서 시편의 산소분압에 따른 감도 특성이다. 기준전극으로 NiO/Ni를 사용하였을 시 시편의 충분한 안정화를 위해서 측정온도에서 2시간 이상방치한 후에 측정하였다. 측정온도  $300^\circ\text{C}$ 에서 가장 좋은 감도 특성을 나타냈으며, 산소분압이 1~10%로 변화시 약  $30\text{mV}$  정도 변화하였다. NiO/Ni의 산소에 대한 전기화학 전위가 낮은 상태로 존재하므로 산소농도가 커짐에 따라 기전력 변화폭

이 상승하고 있다. 또한  $400^\circ\text{C}$  이상에서는 기전력 변화가 크게 감소하였다.

기준전극 삽입형 센서의 경우, 기전력변화는 아래의 식을 따르는 것으로 생각할 수 있다.

$$E' = E_0 + E_N$$

여기서  $E_0$  는 초기 기전력,  $E_N$  은 Nernst 기전력이다.

### 4. 결 론

본 연구에서는 불화물계 센서의 최적의 제조조건 및 온도 안정성, 저온 동작을 위한 첨가제 개발에 중점을 두고 그에 대한 연구를 수행 하였다. 디스크형 시편의 경우에 Air( $O_2: 21\%$ )를 기준전극으로 하였으며, Ag막을 감지전극으로 사용하였다. 디스크형 소자의 경우 밀도와 수축률의 결과를 토대로  $800^\circ\text{C}$ 에서 열처리 하였고, 첨가물의  $10\text{mole\%}$  일 경우에 산소농도 1%~10% 변화시 약  $60\text{mV}$  변화를 나타내었다. 기준전극 내장형 센서의 경우 감지전극으로 Air, Ag사용하고, 기준전극으로 NiO를 사용하였다. 기준전극 내장형 센서의 경우의 응답 특성은 동작온도  $300^\circ\text{C}$ 에서 산소농도의 변화가 1%~10% 변화하였을 때 기전력의 변화가  $30\text{mV}$  정도였다.

### 참 고 문 헌

1. T. Y. Tien, H. L. Stadler, E. F. Gibbons and P. J. Zacmanidis - Ceramic Bulletin, Vol. 54, No. 3, PP. 280 ~ 285, 1975.
2. E. M Logothetis - Proc. 8th Automotive Materials conf., Ceramic Engineer and sic. proc. amer. Ceramin. Soc. Vol. 1 PP. 281 ~ 301, 1980.
3. M. J. Esper, E. M. Logothetis, and J. C. Chu - Society of Automotive Engineers, inc. PP. 518 ~ 526, 1980.
4. S. F. Chou and R. A. Rapp, J. Electro-chem. Soc. : Solid State Sience and Technology, pp. 506~513, Feb. 1983.
5. T. A. Ramanarayanan, M. L. Narula, and W. L. Worrell, J. Electrochem. Soc. : Solid State Science and Technology, pp. 1360 ~ 1363, Aug. 1979.
6. S. Kucheria and M. F. Berard, J. Am. Ceram. Soc. Vol. 64, No. 10, pp. 594 ~ 600.
7. Carl Wagner, J. Electrochem. Soc. : Electro-chemical Science, Vol. 115, No. 9, pp. 933 ~ 935, Sep. 1968.
8. J. P. Lukaszewicz, N. Miura, and N. Yamazoe, Sensors and Actuators B1, pp. 195~198, 1990.
9. 河本洋二, Bulletin of the Ceramic Society of Japan : Ceramics Japan, Vol. 27 , No. 2, pp. 105~111, 1992.

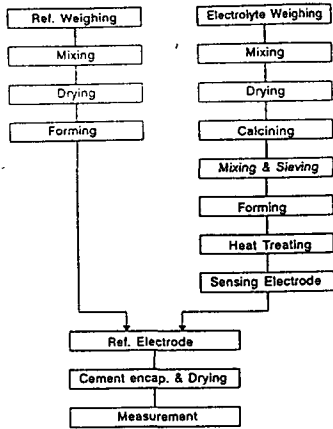


그림 1. 고체 전하질 산소센서의 제조 공정도

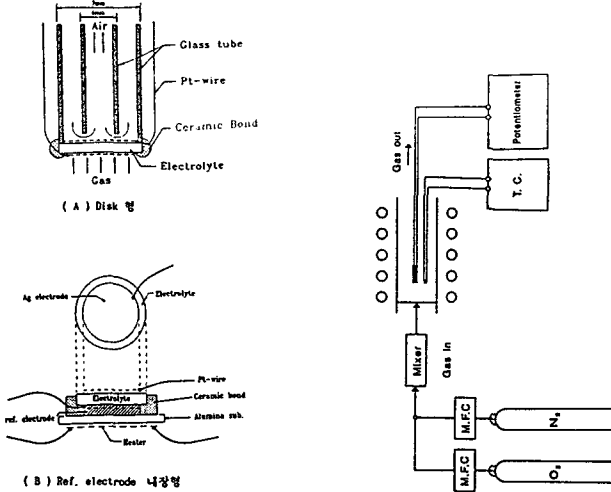


그림 2. 산소센서 시변회 구조

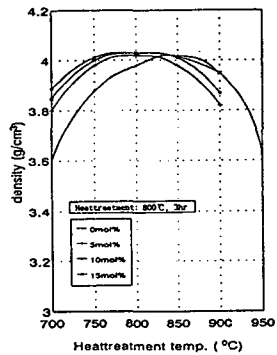


그림 4.  $\text{SrF}_2$  산소센서 시변의 열처리 온도에 따른 밀도의 변화

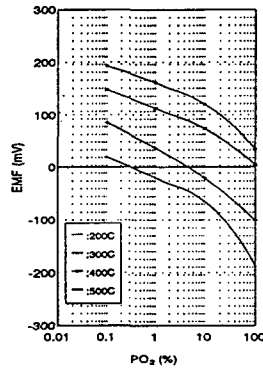


그림 5.  $\text{SrF}_2$ - $\text{YF}_3$ (10mol%) 첨가된 시변의 여러온도별 산소분압에 따른 강도특성

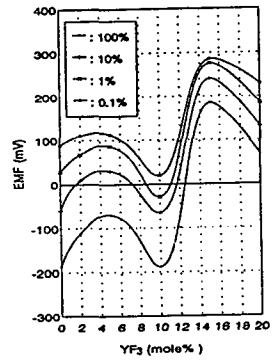


그림 6.  $\text{YF}_3$  첨가량에 따른  $\text{SrF}_2$  산소센서 시변의 강도 특성  
(속도온도 : 200 °C)

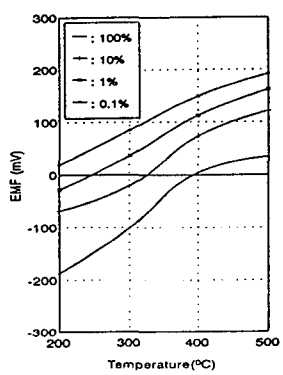


그림 7. 속도온도에 따른  $\text{SrF}_2/\text{YF}_3$  산소센서 시변의 산소감지 특성  
( $\text{SrF}_2$ : 90mol%,  $\text{YF}_3$ : 10mol%, 열처리 온도 : 800°C)

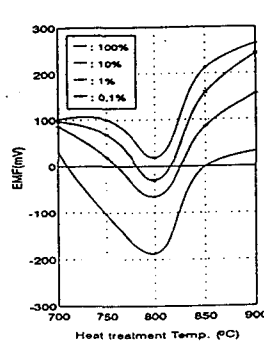


그림 8. 열처리 온도에 따른  $\text{SrF}_2/\text{YF}_3$  산소센서 시변의 산소감지 특성 (속도온도 : 200°C)

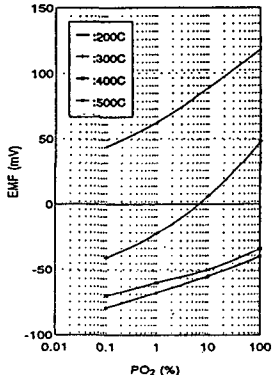


그림 9. 기준전극으로  $\text{NiO}/\text{Ni}$ 를 사용한  $\text{SrF}_2/\text{YF}_3$  산소센서 시변의 산소분압에 따른 강도특성